

К. т. н. Д. В. Онищенко, к. т. н. В. П. Рева

ФГАОУ ВПО «Дальневосточный федеральный университет», г. Владивосток, Россия

УДК 666.762.812

## ФОРМИРОВАНИЕ МНОГОСЛОЙНЫХ УГЛЕРОДНЫХ НАНОТРУБОК ИЗ РАСТИТЕЛЬНОГО СЫРЬЯ ДЛЯ МОДИФИЦИРОВАНИЯ УГЛЕРОДСОДЕРЖАЩИХ ОГНЕУПОРОВ

Представлена перспективная технология получения многослойных углеродных нанотрубок из возобновляемого растительного сырья: сфагнового мха и отходов кукурузы сорта «Катерина СВ». Показано, что при механохимической обработке аморфного углерода, синтезированного пиролизом из сфагнума бурого, происходит образование углеродных нанотрубок. Выход нанотрубок от 19 мас. % после 7 ч механоактивации и до 75 мас. % после 27 ч. При обработке аморфного углерода, полученного из отходов кукурузы, выход нанотрубок при той же продолжительности механообработки 11 и 42 мас. %.

**Ключевые слова:** *сфагнум бурый, отходы кукурузы, пиролиз, аморфный углерод, механоактивация, углеродные нанотрубки.*

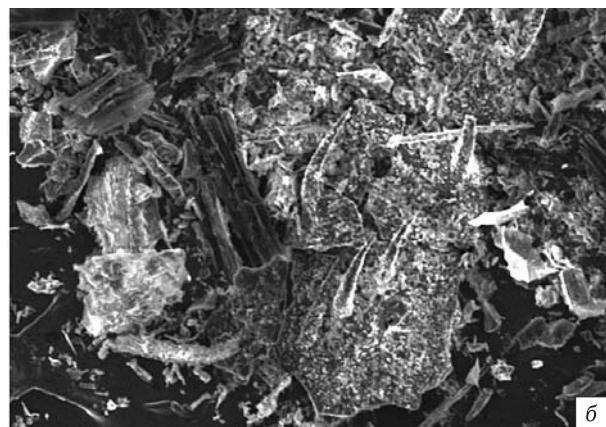
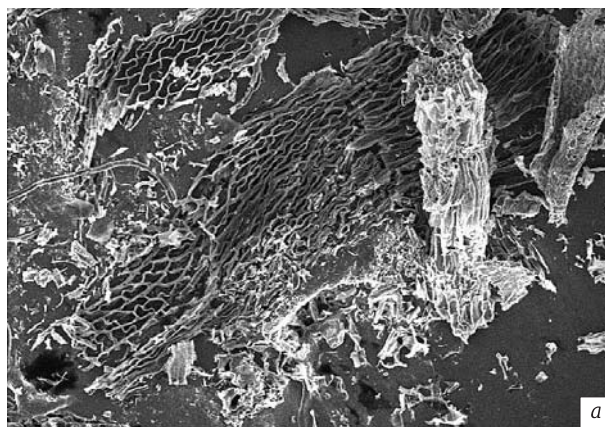
### ВВЕДЕНИЕ

В последние десятилетия в мире интенсивно используют углеродсодержащие огнеупоры. Вследствие их повышенной термостойкости, износостойчивости и высокой коррозионной устойчивости без снижения стойкости к окислению углеродсодержащие огнеупоры активно применяют в производстве чугуна и стали, для внутренней футеровки передаточных ковшей и конвертерных печей. Углеродсодержащие огнеупоры, как правило, состоят из огнеупорного заполнителя и углеродсодержащей связки. Связка может содержать диспергированные в ней наночастицы металла-катализатора или нановолокнистые структуры — углеродные или металлические нанотрубки. Металл-катализатор выбирают из группы: Ni, Co, Fe, Ti, Zr, Cr, Mn, Cu, Pt, Rh, Pd и их соединения. Перспективный способ получения углеродсодержащих огнеупоров — механическое смешивание (механоактивация) органического связующего, состоящего из фенольной смолы, дегтя, пека или их смеси, сnano- или ультрачастицами или нановолокнами заполнителя с последующими формированием и термообработкой. При термообработке углеродсодержащего огнеупора в углеродсодержащей связке образуются и самоорганизуются активные фазы в виде углеродных нановолокон или наночастиц металлов, благодаря чему повышается прочность, снижается модуль упругости и уменьшается температурный коэффициент линейного расширения углеродсодержащего огнеупора. При добавлении углеродного нановолокна (многослойных углеродных нанотрубок) в качестве заполнителя особенно эффектив-

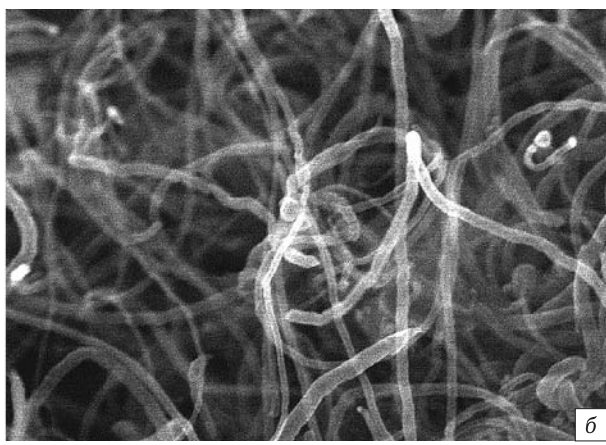
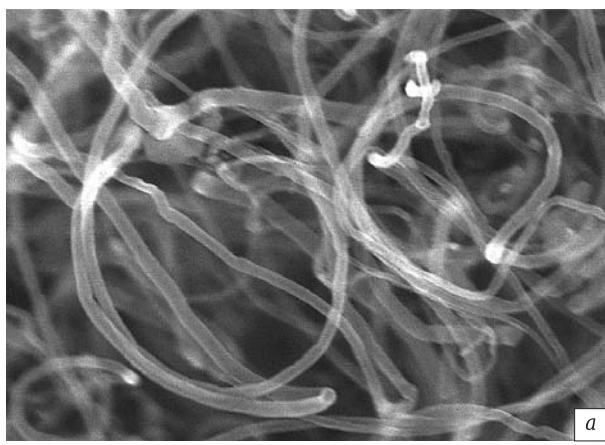
но происходит повышение прочности, а также устойчивости к коррозии и термостойкости [1–6]. Исходя из вышесказанного, авторы настоящей работы синтезировали многослойные углеродные нанотрубки в условиях механоактивации из дешевого возобновляемого растительного сырья с низкой себестоимостью [7, 8]. Работу проводили с целью изучения механохимического формирования углеродных многослойных нанотрубок из аморфного углерода, полученного пиролизом сфагнума бурого и отходов кукурузы, для дальнейшего применения их в качестве эффективного модификатора углеродсодержащих огнеупоров.

### ЭКСПЕРИМЕНТАЛЬНАЯ ЧАСТЬ

Углеродные нанотрубки были сформированы с применением пиролитической и механохимической технологии. В качестве исходного материала использовали мох сфагнум бурый (*Sphagnum fuscum*), а также стебель и листья кукурузы сорта «Катерина СВ», так как предварительно проведенные нами исследования показали бесперспективность использования в качестве исходного сырья для формирования углеродных нанотрубок отходов овса, пшеницы и гречихи. Растительное сырье предварительно просушивали для удаления избыточной влажности, отсеивали инородные примеси, подвергали дезинтеграторной обработке для достижения дисперсности 100–150 мкм. Модификации углерода с аморфной структурой получали при 950 °C. Для химической отмычки аморфного углерода от минеральных примесей применяли смесь растворов кислот HNO<sub>3</sub> (25 %) и HCl (25 %) при 100 °C.



**Рис. 1.** Микроструктура аморфного углерода после пиролиза при 950 °С: *а* — сфагнум бурый, ×200; *б* — кукуруза сорта «Катерина СВ», ×250 (СЭМ)



**Рис. 2.** Микроструктура углеродных нанотрубок после обжига в вакууме, ×100. Исходное сырье: *а* — мох сфагновый; *б* — кукуруза. Время механоактивации 27 ч

Далее углеродные модификации подвергали механохимической обработке в вариопланетарной мельнице «Pulverisette-4» фирмы «Fritsch» (Германия). Эксперименты выполняли по следующему режиму: число оборотов главного диска 400 мин<sup>-1</sup>, число оборотов сателлитов 800 мин<sup>-1</sup>, интенсивность (отношение массы исходных материалов к массе размалывающих шаров) 1:50.

Строение нановолокнистого углерода исследовали на электронном сканирующем микроскопе высокого разрешения «Hitachi S5500» (Япония) с приставкой для просвечивающей микроскопии.

Для удаления аморфного углерода проводили трехступенчатый обжиг в вакууме при 220–870 °С в лабораторной вакуумной печи с графитовым электродом фирмы «Centorr Vacuum Industries» (США): первая ступень 220 °С, вторая ступень 550 °С, третья ступень 870 °С. Определение пикнometрической плотности углеродных материалов проводили согласно ГОСТ 22524.

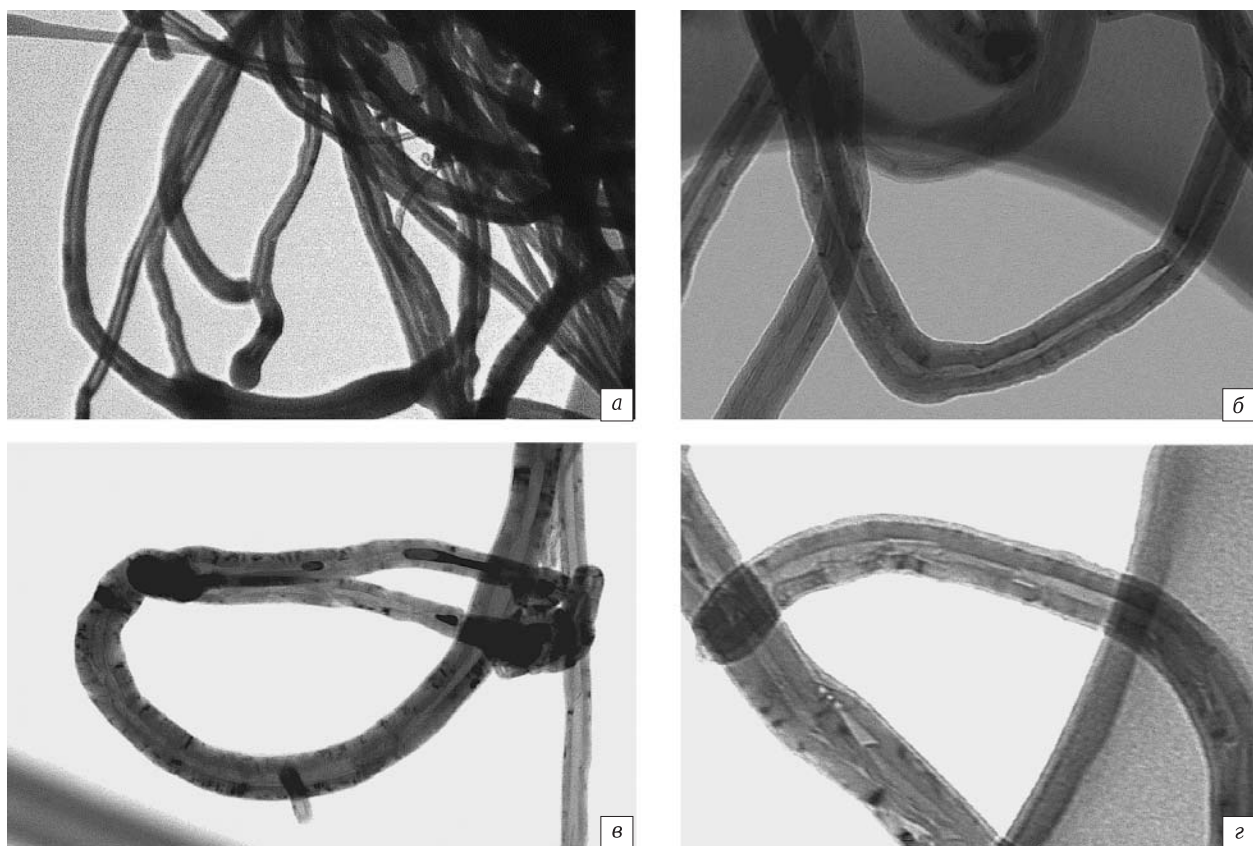
Исследование спектров многостенных углеродных нанотрубок (комбинационное рассеивание) выполняли на спектрометре TRI VISTA 777

(TriVista Triple Raman System, модель TR 777), Германия.

## РЕЗУЛЬТАТЫ И ОБСУЖДЕНИЕ

На первом этапе исследования были получены углеродные модификации с аморфной структурой из сфагнума бурого и отходов кукурузы при температуре пиролиза 950 °С. Морфология аморфного углерода в обоих случаях представлена фрактальной структурой в широком диапазоне дисперсности частиц (рис. 1).

Ранее проведенные исследования [9–12] позволили определить условия формирования углеродных нанотрубок в процессе механохимической обработки аморфного углерода, полученного из сфагнового мха. Было установлено, что объем нанотрубок, сформированных при механоактивации аморфного углерода, линейно зависит от продолжительности механообработки углеродного композита в вариопланетарной мельнице. Такая же зависимость выявлена и в случае формирования углеродных нанотрубок при механоактивации аморфного углерода, синтезированного из отхо-



**Рис. 3.** Микроструктура углеродных нанотрубок после вакуумного отжига (ПЭМ). Продолжительность механоактивации, ч: *a, б* — 10; *в, г* — 27 (*а, в* — кукуруза, *б, е* — мх); *а* — ×150; *б* — ×400; *в* — ×250; *г* — ×450

дов кукурузы (рис. 2). Перед определением содержания нанотрубок проводили трехступенчатый обжиг углеродных композитов в вакууме, способствующий удалению из них аморфного углерода. Как видно (табл. 1), скорость образования углеродных нанотрубок при использовании в качестве исходного сырья отходов кукурузы значительно ниже, чем в случае применения сфагнового мха.

На рис. 3 представлена морфология углеродных нанотрубок, сформированных при различной продолжительности механоактивации аморфного углерода, полученного пиролизом из сфагнового мха и отходов кукурузы. Сформированные нанотрубки так же, как и в случае использования в качестве исходного сырья сфагнума бурого, имеют дефектную структуру типа «bamboo» и «вложенные наноконусы» (см. рис. 3, *а, б, г*), однако разделения нанотрубки большего диаметра (40 нм) на

две нанотрубки меньшего диаметра (20 нм) ранее не наблюдалось (см. рис. 3, *в*).

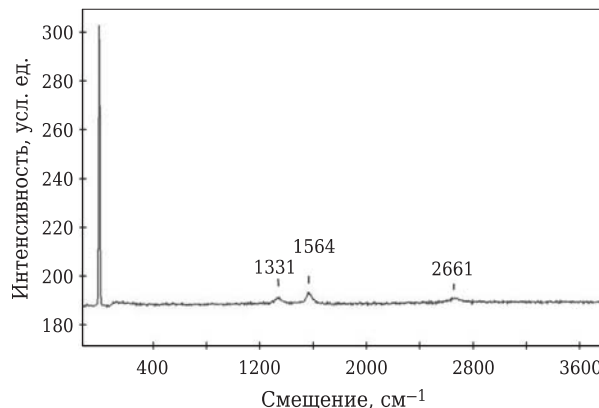
Основное количество углеродных нанотрубок имеет диаметр около 30 нм, присутствуют также образцы диаметром 10 и 50 нм (см. рис. 1, *а*), что немного меньше, чем ранее выявлено (10–70 нм)

**Таблица 1. Содержание нанотрубок в углеродном композите в зависимости от времени механоактивации**

Исходное сырье	Содержание нанотрубок, мас. %, при механической активации в течение, ч			
	7	10	16	27
Сфагнум бурый	18,98	43,71	52,67	74,87
Кукуруза сорта «Катерина СВ»	11,52	24,45	34,06	42,75

**Таблица 2. Пикнometрическая плотность углеродного композита (числитель) и углеродных нанотрубок (знаменатель) в зависимости от времени механоактивации**

Исходное сырье	Плотность, г/см <sup>3</sup> , при механоактивации в течение, ч				
	0	7	10	16	27
Мх сфагновый	1,38	1,31/1,23	1,22/1,17	1,18/1,12	0,96/0,88
Кукуруза сорта «Катерина СВ»	1,56	1,45/1,41	1,33/1,26	1,26/1,20	1,11/0,92



**Рис. 4.** Спектр многостенных углеродных нанотрубок (комбинационное рассеивание КР), сформированных в процессе механоактивации в течение 10 ч аморфного углерода, синтезированного из кукурузы

при формировании нанотрубок, полученных с использованием аморфного углерода, полученного из сфагнума бурого.

Следует отметить, что общая дефектность нанотрубок, сформированных из отходов кукурузы, выше, чем при использовании сфагнума бурого (см. рис. 2), что, вероятно, связано с более высокой плотностью исходного аморфного углерода, а следовательно, и формируемых в процессе механоактивации углеродных нанотрубок (табл. 2).

Комбинационное рассеяние (КР) многостенных углеродных нанотрубок (рис. 4) характеризуется наличием двух пиков: в области 1300 см<sup>-1</sup>, что соответствует D-моде колебаний, и в области 1550 см<sup>-1</sup>, что соответствует G-моде колебаний. Результаты проведенного КР показывают, что с ростом продолжительности механоактивации увеличивается дефектность углеродных нанотрубок.

## ЗАКЛЮЧЕНИЕ

Механоактивация аморфного углерода, полученного из возобновляемого растительного сырья — сфагнового мха и отходов кукурузы, способствует формированию многослойных углеродных нанотрубок. Установлено, что при механохимической обработке аморфного углерода, синтезированного пиролизом из сфагнума бурого, происходит образование углеродных нанотрубок. Выход нанотрубок от 19 мас. % при 7 ч механоактивации до 75 мас. % при 27 ч. При формировании из аморфного углерода, полученного из отходов кукурузы, выход нанотрубок 11 мас. % после 7 ч механоактивации и 42 мас. % после 27 ч.

Сфагновый мох и отходы кукурузы можно рассматривать как масштабный, легкодоступный, дешевый и перспективный в плане дальнейшего ис-

пользования возобновляемый материал — источник аморфного углерода для формирования нанотрубок и дальнейшего эффективного модификации углеродсодержащих материалов.

## Библиографический список

1. **Красс, Я. Р.** Технология производства износостойчивых магнезиальных огнеупоров с точки зрения современного направления развития сталеплавильных и других процессов, экологии, ресурсосбережения, компьютеризации / Я. Р. Красс // Огнеупоры и техническая керамика. — 2002. — № 12. — С. 11–12.
2. **Суворов, С. А.** Фазовые превращения огнеупоров при окислительно-восстановительных взаимодействиях компонентов / С. А. Суворов, Д. Е. Денисов [и др.] // Огнеупоры и техническая керамика. — 1987. — № 9. — С. 26–30.
3. **Хорошавин, Л. Б.** Углеродизация огнеупоров / Л. Б. Хорошавин, В. А. Перепелицын // Огнеупоры и техническая керамика. — 1999. — № 6. — С. 4–12.
4. **Cai, Da-yong.** Поведение при высокотемпературном окислении углерод-углеродистого композиционного материала с модифицированной матрицей / Da-yong Cai, Ju-long He [et al.] // Tansujishu = Carbon Techn. — 2000. — № 2. — Р. 24–26.
5. **Пат. 2163900 РФ**, МПК 04 35/103, 35/66. Углеродсодержащий огнеупор / В. И. Энтин, Н. М. Анжеуров, Г. Е. Карась и др.; ОАО «Семилукский огнеупорный завод». № 2000108318/03 ; заявл. 03.04.00 ; опубл. 10.03.01.
6. **Хорошин, Л. Б.** Развитие огнеупоров : науч. изд. / Л. Б. Хорошин, В. А. Кононов. — Екатеринбург : УроРАН, 1996. — 20 с.
7. **Чаков, В. В.** Ресурсы верховых болот Нижнего Приамурья и перспективы их освоения / В. В. Чаков. — Хабаровск : ДВО РАН, 2009. — 172 с.
8. **Кравченко, Р. В.** Агробиологическое обоснование получения стабильных урожаев зерна кукурузы в условиях степной зоны Центрального Предкавказья : монография / Р. В. Кравченко. — Ставрополь, 2010. — 208 с.
9. **Онищенко, Д. В.** / Д. В. Онищенко, В. П. Рева // Кокс и химия. — 2012. — № 5. — С. 40–45.
10. **Онищенко, Д. В.** Перспективные нанокомпозитные материалы на основе возобновляемых растительных ресурсов / Д. В. Онищенко, В. П. Рева, В. В. Чаков [и др.] // Металлург. — 2012. — № 9. — С. 59–62.
11. **Онищенко, Д. В.** Комплексная переработка сфагнового мха с целью получения углеродных нанотрубок / Д. В. Онищенко, В. П. Рева, В. Г. Курявый [и др.] // Кокс и химия. — 2012. — № 9. — С. 35–39.
12. **Онищенко, Д. В.** Формирование многостенных нанотрубок в результате механической активации / Д. В. Онищенко, В. П. Рева, В. В. Чаков [и др.] // Доклады Академии наук. — 2012. — Т. 447, № 4. — С. 418–420. ■

Получено 15.01.13

© Д. В. Онищенко, В. П. Рева, 2013 г.